

# Две конструкции сверточных МПП-кодов

В. В.Зяблов

Институт проблем передачи информации, Российская академия наук, Москва, Россия  
zyablov@iitp.ru

К. А. Кондрашов

Институт проблем передачи информации, Российская академия наук, Москва, Россия  
k\_kondrashov@iitp.ru

## Аннотация

В настоящей работе предлагаются две новые конструкции  $q$ -ных сверточных МПП-кодов, предназначенные для построения из коротких слов с малым кодовым расстоянием и простой проверкой длинных каскадных кодов с хорошими дистанционными свойствами. Конструкции строятся на основе 2-х и 4-х кодов с одной  $q$ -ной проверкой на четность. Описывается структура кодов и алгоритм кодирования, исследуются дистанционные свойства представленных кодов.

## 1. Введение

Двоичные сверточные коды с малой плотностью проверок на четность (сверточные МПП-коды) были предложены в [1]. Как и блочные МПП-коды, сверточные  $(J, K)$ -МПП-коды описываются проверочной матрицей  $\mathbf{H}$ , имеющей ровно  $J$  единиц в каждом столбце и  $K$  единиц в каждой строке. В случае полей  $GF(q)$ , где  $q \neq 2$ , на месте единиц могут стоять любые ненулевые элементы поля.

Частным случаем сверточных МПП-кодов являются плетеные коды [2], использующие определенную геометрическую компоновку  $J = 2$  кодов-компонентов. Предлагаемые нами конструкции можно рассматривать, как расширение плетеных кодов. В обеих конструкциях в качестве кодов-компонентов используются простые  $q$ -ные коды с одной проверкой на четность. В первой конструкции количество кодов-компонентов оставлено неизменным и она представляет из себя сверточный  $(2,4)$ -МПП-код. Во второй конструкции количество кодов-компонентов увеличено до 4-х, полученный код является сверточным  $(4,8)$ -МПП-кодом.

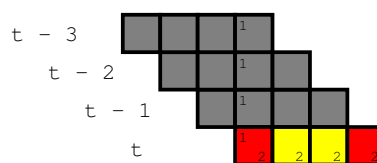


Рис. 1. Представление кодового слова  $(2,4)$ -плетеного МПП-кода с помощью массива. Индексами 1 и 2 обозначена принадлежность символов к одному из двух компонентных кодов – вертикальному или горизонтальному. Серым цветом выделены закодированные участки, желтым – места для информационных символов, красным – для проверочных.

## 2. Первая конструкция

Первая конструкция является прямым обобщением плетеных кодов [2] на случай  $q$ -ных кодов с одной  $q$ -ной проверкой на четность. Предлагаемую конструкцию  $(2,4)$ -МПП-кода удобно представить с помощью бесконечного двумерного массива (Рис.1). Кодовые символы помещаются в ячейки массива и проверяются по строкам и по столбцам горизонтальным и вертикальным кодами-компонентами соответственно. В каждый момент времени  $t$  символы принятого информационного вектора  $\mathbf{u}_t = [u_t^0 \ u_t^1]$  помещаются в выделенную серым область. Вертикальный код кодирует задержанные символы и довершает информационное слово для горизонтального кода. Горизонтальный код кодирует выходной вектор  $\mathbf{v}_t = [v_t^0 \ v_t^1 \ v_t^2 \ v_t^3]$ . Скорость кода  $R = 0,5$ .

## 3. Вторая конструкция

В плетеных кодах [2] используются два сильных кода-компонента. Двух слабых кодов-

компонентов может быть недостаточно для получения кода с хорошими корректирующими свойствами, поэтому мы предлагаем расширенную конструкцию (Рис.2) с увеличенным числом кодов-компонентов. Мы используем 4 кода-компонента длины 8, что позволяет сохранить общую скорость кода  $R = 0,5$ . В общем случае скорость сверточного  $(J, K)$ -МПП-кода с кодами-компонентами с одной  $q$ -ной проверкой на четность определяется как  $1 - \frac{J}{K}$ . Кодирование выполняется по аналогии с  $(2, 4)$ -кодом: проверочные символы вертикального и диагональных кодов, полученные при кодировании сохраненных в памяти за предыдущие моменты времени символов, вместе с информационными символами образуют информационное слово для горизонтального кода, который завершает кодирование.

#### 4. Кодирование

С предложенными кодами можно работать как с обычными сверточными-МПП кодами, в частности, их можно описать в терминах оператора задержки. Если для всех кодов-компонентов в качестве проверочной матрицы выбрать  $\mathbf{H} = (1 \ 1 \ \dots \ 1)$ , то проверочная матрица внешнего  $(4, 8)$ -кода будет иметь вид:

$$\mathbf{H}^T(D) = \begin{pmatrix} 1 & D^4 & D^6 & 1 \\ D & 1 & D^5 & 1 \\ D^2 & D^5 & D^4 & 1 \\ D^3 & D & D^3 & 1 \\ D^4 & D^6 & D^2 & 1 \\ D^5 & D^2 & D & 1 \\ D^6 & D^7 & 1 & 1 \\ D^7 & D^3 & D^7 & 1 \end{pmatrix}. \quad (1)$$

При выборе других коэффициентов для любой из проверок на четность эти коэффициенты появятся в соответствующих позициях в столбце, отвечающем за проверку. Легко увидеть, что представленный сверточный код имеет следующие характеристики:  $m_s = 7$ ,  $b = 4$ ,  $c = 8$ . Опишем его с помощью полубесконечной проверочной матрицы:

$$\mathbf{H}^T = \begin{pmatrix} \mathbf{H}_0^T & \mathbf{H}_1^T & \dots & \mathbf{H}_{m_s-1}^T & \mathbf{H}_{m_s}^T \\ & \mathbf{H}_0^T & \mathbf{H}_1^T & \dots & \mathbf{H}_{m_s-1}^T & \mathbf{H}_{m_s}^T \\ & & \ddots & \vdots & \vdots & \ddots \end{pmatrix}, \quad (2)$$

где подматрицы  $\mathbf{H}_i^T$  –  $q$ -ные матрицы раз-

мера  $c \times (c - b)$ , которые легко получить из (1).

$$\mathbf{H}_0^T = \begin{pmatrix} 1 & 0 & 0 & 1 \\ 0 & 1 & 0 & 1 \\ 0 & 0 & 0 & 1 \\ 0 & 0 & 0 & 1 \\ 0 & 0 & 0 & 1 \\ 0 & 0 & 0 & 1 \\ 0 & 0 & 1 & 1 \\ 0 & 0 & 0 & 1 \end{pmatrix} \dots \mathbf{H}_7^T = \begin{pmatrix} 0 & 0 & 0 & 0 \\ 0 & 0 & 0 & 0 \\ 0 & 0 & 0 & 0 \\ 0 & 0 & 0 & 0 \\ 0 & 0 & 0 & 0 \\ 0 & 0 & 0 & 0 \\ 0 & 1 & 0 & 0 \\ 1 & 0 & 1 & 0 \end{pmatrix}.$$

Кодирование  $(m_s, J, K)$ -кода осуществляется следующим образом. Пусть  $\mathbf{v} = [\mathbf{v}_1, \mathbf{v}_2, \dots, \mathbf{v}_t, \dots]$  – кодовая последовательность, где  $\mathbf{v}_t = [v_t^0, v_t^1, \dots, v_t^c]$  и  $v_t^{p_i} = u_t^i$  для  $i = 0, \dots, b - 1$ ,  $p_i \neq p_j$  при  $i \neq j$ . В любой момент времени эта последовательность должна удовлетворять условию:

$$\mathbf{v}_t \mathbf{H}_0^T + \mathbf{v}_{t-1} \mathbf{H}_1^T + \dots + \mathbf{v}_{t-m_s} \mathbf{H}_{m_s}^T = 0. \quad (3)$$

Если из матрицы  $\mathbf{H}_0^T$  исключить строки, отвечающие за информационные символы  $u^i, i = 0, \dots, b - 1$ , то полученная  $(c - b) \times (c - b)$  матрица  $\mathbf{H}_0'^T$  будет иметь полный ранг и решение (3) будет единственным:

$$\mathbf{v}_t \mathbf{H}_0'^T = -(\mathbf{v}_{t-1} \mathbf{H}_1^T + \dots + \mathbf{v}_{t-m_s} \mathbf{H}_{m_s}^T). \quad (4)$$

Для прямого кодирования по нулевому синдрому требуется  $cm_s + b$  ячеек памяти. Этот объем можно уменьшить, используя частичные синдромы. Для кодовой последовательности верно следующее:

$$\mathbf{v}_{[0, t-1]} \mathbf{H}_{[0, t+m_s-1]}^T = [\mathbf{0}_{[0, t-1]} | \mathbf{s}_t], \quad (5)$$

где  $\mathbf{s}_t = [s_t^0, s_t^1, \dots, s_t^{m_s-1}]$

– вектор частичных синдромов. Обновление частичных синдромов происходит в соответствии с рекуррентными соотношениями:

$$s_t^i = \begin{cases} s_{t-1}^{i+1} + \mathbf{v}_t \mathbf{H}_{i+1}^T, & i = 0, \dots, m_s - 2 \\ \mathbf{v}_t \mathbf{H}_{i+1}^T, & i = m_s - 1 \end{cases} \quad (6)$$

А кодовый блок  $\mathbf{v}_{t+1}$  получается из следующего уравнения:

$$\mathbf{v}_{t+1} \mathbf{H}_0^T = -s_t^0. \quad (7)$$

В такой реализации для кодирования потребуется  $(c - b)m_s$  ячеек памяти.

#### 5. Дистанционные свойства кодов

Одной из важных характеристик кода, определяющих его корректирующие способности, является минимальное кодовое расстояние  $d_{min}$  – минимальное Хеммингово расстояние между кодовыми словами. Так как сверточные коды имеют кодовые слова различной

длины, для них определяется аналог кодового расстояния – свободное расстояние  $d_{free}$ . Свободное расстояние – это минимальное расстояние между любыми кодовыми последовательностями сверточного кода. Чтобы определить свободное расстояние кода, мы будем исследовать его активное расстояние

$$d_j = \min \{ \omega_H(\mathbf{v}_{[1,j]}) \} : \mathbf{v}_{[1,j]} \mathbf{H}_{[1, j+m_s-1]}^T = \mathbf{0} \quad (8)$$

– минимальный вес кодовой последовательности, приводящей кодер в нулевое состояние (нулевые частичные синдромы) после  $j$  информационных блоков. В таком случае свободное расстояние определяется как минимальное активное расстояние:  $d_{free} = \min_j \{ d_j \}$ . Для нахождения активных расстояний мы будем для различных  $j$  решать систему линейных уравнений

$$\mathbf{x} \mathbf{H}_{[1, j+m_s-1]}^T = \mathbf{0}, \quad (9)$$

из которой исключены первые несколько строк, отвечающие нулевым символам диагональных кодов первого кодового блока. Система (9) имеет или единственное нулевое решение или множество решений. В последнем случае линейно независимые решения образуют фундаментальную систему решений (ФСР), а все остальные решения получаются из их линейных комбинации. В общем случае минимальный вес решения системы (9) при заданном  $j$  определяет точное значение  $d_j$ , а минимальный вес векторов ФСР – ее верхнюю границу. Можно показать, что в случае двоичных кодов минимальный вес векторов ФСР будет также давать точное значение  $d_j$ . Для этого воспользуемся следующей леммой.

**Л е м м а 1.** *Кодовые слова двоичных кодов обладают циклическостью.*

Если  $\mathbf{v} = [\mathbf{v}_1, \mathbf{v}_2, \dots, \mathbf{v}_j]$ , где

$\mathbf{v}_t = [v_t^1, v_t^2, \dots, v_t^{c-1}, 0]$  – кодовое слово, то и

$\mathbf{v}' = [\mathbf{v}'_1, \mathbf{v}'_2, \dots, \mathbf{v}'_j]$ , где

$\mathbf{v}'_t = [0, v_t^1, v_t^2, \dots, v_t^{c-1}]$  – решение.

### Д о к а з а т е л ь с т в о .

В силу построения, все проверки  $x_1 + x_2 + \dots + x_{c-1} + 0 = 0$  кодов-компонент при единичном сдвиге примут вид  $0 + x_1 + x_2 + \dots + x_{c-1} = 0$ . Так как все исходные проверки удовлетворены, то и результирующие проверки будут также удовлетворены. ■

Так как решениями двоичных кодов будут являться вектора ФСР и их сдвиги, а при сдвигах вес слова не меняется, то минимальный вес векторов ФСР будет точным значением активного расстояния  $d_j$ . К сожалению, для  $q$ -ных кодов этого утверждать нельзя, так как из выполнения условия  $x_1 \alpha_1 + x_2 \alpha_2 + \dots + x_{c-1} \alpha_{c-1} + 0 = 0$ ,

не следует выполнение  $0 + x_1 \alpha_2 + x_2 \alpha_3 + \dots + x_{c-1} \alpha_c = 0$  и сдвиги не являются решением.

При решении системы линейных уравнений (9) оказалось, что до некоторого  $k$ :  $j = 1..k$  у системы нет других решений кроме тривиального. Это означает, что у кодов на длинах  $j \leq k$  информационных блоков нет кодовых слов, поэтому мы будем считать активное расстояние на этих длинах равным бесконечности. Вычисленные активные расстояния для двоичных и  $q$ -ных кодов представлены в Табл. 1 и 2.

Q \ j	1	2	3	4	5
2	$\infty$	4	6	8	
8	$\infty$	$\infty$	$\leq 8$	$\leq 9$	$\leq 11$

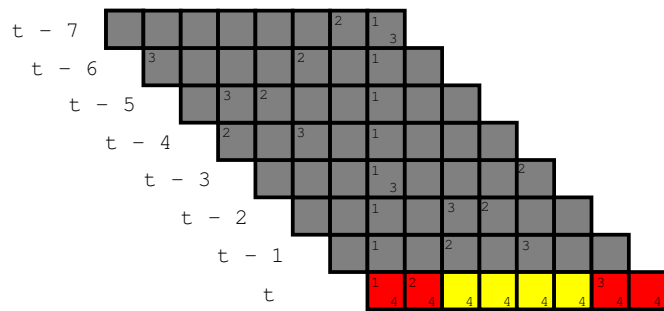
**Таблица 1.** Активные расстояния (2,4)-кодов

Q \ j	3	4	5	6	7
2	$\infty$	12	12	14	
8	$\infty$	$\infty$	$\infty$	$\leq 32$	$\leq 34$

**Таблица 2.** Активные расстояния (4,8)-кодов

## 6. Заключение

Рассмотрены две кодовые конструкции, представляющие собой обобщения двоичных сверточных МПП-кодов на случай недвоичных конечных полей, описаны алгоритмы кодирования, получены свободные расстояния или их граница сверху. В силу построения оказалось, что двоичные (2,4) и (4,8) коды при декодировании не могут сгенерировать пакеты ошибок длиной вплоть до 1-го и 3-х информационных блоков соответственно, их восмеричные аналоги – до 2-х и 5-и.



**Рис. 2.** Представление кодового слова (4,8)-плетеного МПП-кода с помощью массива. Индексами 1 - 4 обозначена принадлежность символов к одному из компонентных кодов. Серым цветом выделены закодированные участки, желтым – места для информационных символов, красным – для проверочных.

### Список литературы

- [1] A. Jiménez Feltström and K. S. Zigangirov Time-varying periodic convolutional codes with low-density parity-check matrix // IEEE Trans. Inform. Theory. 1999. V. IT-45. № 6. P. 2181–2191.
- [2] A. Jiménez Feltström, D. Truchachev, M. Lentmaier, K. S. Zigangirov Braided Block Codes // IEEE Trans. Inform. Theory submission. May 2008.